

УДК 551.89+550.93

## НОВЫЙ ПОДХОД К ГЕОХРОНОЛОГИИ МЕЖЛЕДНИКОВЫХ ОТЛОЖЕНИЙ РУССКОЙ РАВНИНЫ НА ОСНОВЕ УРАН-ТОРИЕВОГО МЕТОДА ДАТИРОВАНИЯ ПОГРЕБЕННОГО ТОРФА

© 2003 г. В. Ю. Кузнецов, Ф. Е. Максимов

Представлено академиком А.П. Лисицыным 09.04.2003 г.

Поступило 25.04.2003 г.

Хроностратиграфия голоценовых и позднеплейстоценовых отложений на континенте базируется на широком применении радиоуглеродного метода определения абсолютного возраста органогенных формаций (торф, гиттия, сапропель). На основе этого метода разработаны геохронологические шкалы, хроностратиграфические и климато-геохронологические схемы голоцена и второй половины позднего плейстоцена (последние 50–55 тыс. лет) [1, 2]. В последние десятилетия для датирования отложений минерального состава (пески, опесчаненные глины, минералы) с возрастом более 50–55 тыс. лет используются разные модификации термолюминесцентного (ТЛ) метода. Однако, как известно, данные ТЛ-датирования не всегда можно рассматривать как окончательные, так как они зачастую не совпадают с результатами других стратиграфических методов изучения плеистоценовых континентальных осадков. Поэтому вопрос об абсолютной геохронологии верхне- и среднеплеистоценовых формаций на континенте до сих пор остается открытым.

Известно, что для датирования океанических осадков, конкреций, кораллов и раковин моллюсков (из трансгрессивных морских отложений), возраст которых превышает 50–55 тыс. лет, применяются так называемые неравновесные методы ядерной геохронологии. В последнее время один из этих методов – уран-ториевый ( $^{230}\text{Th}/\text{U}$ ) – находит применение за рубежом также для определения возраста континентальных органогенных отложений (погребенный торф), возраст которых достигает 300–350 тыс. лет [3]. В отложениях погребенного торфа, как и в морских раковинах моллюсков, наблюдается нарушение радиоактив-

ного равновесия в урановом ряду. При этом со временем из материнского урана, находящегося в органической фракции пробы в значительных количествах ( $10–100 \cdot 10^{-6}$  г/г), накапливается дочерний  $^{230}\text{Th}$ , а величина отношения  $^{230}\text{Th}/^{234}\text{U}$  является мерой возраста образца.

Первые результаты применения уран-ториевого датирования погребенных торфов опубликованы в 1980 г. [4]. В дальнейшем ряд исследователей проводили изучение геохимического поведения изотопов урана и тория в отложениях погребенного торфа, разрабатывали основы  $^{230}\text{Th}/\text{U}$ -датирования этих формаций [5, 6].

Первые исследования в этом направлении в России начаты нами несколько лет назад в целях изучения возможностей и ограничений использования уран-ториевого метода для датирования верхне- и среднеплеистоценовых континентальных осадков. В качестве объектов исследования были выбраны разрезы межледниковых органогенных (торф, гиттия) отложений на территории Русской равнины: стратотипический и парагенетический разрезы осадков микулинского времени из обнажений “Микулино” и “Нижняя Боярщина” (оба расположены в Смоленской области) и спорный в хроностратиграфическом отношении разрез “Филевский парк” в г. Москве (детальное стратиграфическое описание разрезов приведено в [7–9]).

Известно, что возрастные границы микулинского межледникового (разрезы “Микулино” и “Нижняя Боярщина”) коррелируют с изотопно-кислородной стадией океанических осадков 5е, протяженность которой установлена в пределах ~115–130 тыс. лет [10], или, по мнению ряда исследователей [11, 12], соответствуют всей стадии 5 (~74–130 тыс. лет). До последнего времени не решен вопрос об абсолютном возрасте погребенного торфа из разреза “Филевский парк”. Эти спорные в хроностратиграфическом отношении осадки исследователи относят как к микулинскому, так и к одинцовскому времени (стадия 7,

Научно-исследовательский институт географии  
Санкт-Петербургского государственного  
университета

~180–240 тыс. лет). Таким образом, основными целями проведенной нами работы являлись:

1) детальное изучение геохимического поведения изотопов урана и тория в вертикальном профиле органогенных осадков из разрезов “Микулино”, “Нижняя Боярщина” и “Филевский парк” для проработки основных предпосылок, а также возможностей и ограничений уран-ториевого метода датирования этих формаций;

2) детальное палинологическое исследование этих отложений для их биостратиграфической идентификации;

3) получение первых в России значений абсолютного возраста межледниковых органогенных осадков Русской равнины, возраст которых превышает пределы радиоуглеродного датирования (50–55 тыс. лет).

В настоящей работе приводятся первые результаты проведенных исследований и рассматриваются перспективы применения уран-ториевого метода в решении проблемы хроностратиграфии верхне- и среднеплейстоценовых межледниковых континентальных осадков.

В 1998 г. нами отобраны пробы из указанных выше разрезов. Для проведения радиохимического и палинологического анализов осадков пробы отбирались в каждом 5–10-санитметровом слое по всей мощности органогенных отложений. Выделение изотопов урана и тория осуществлялось из органической фракции образцов торфа (гиттии) по разработанной нами аналитической методике [7, 8]. Суть этого метода заключается в следующем: озоление при 600°C доведенных до постоянной массы навесок образцов (10–15 г); растворение органической фазы 7 N азотной кислотой (минеральный остаток отбрасывается); хроматографическое разделение и очистка урана и тория от примесей; электроосаждение радионуклидов на платиновые диски и альфа-спектрометрическое измерение активностей выделенных изотопов  $^{232}\text{Th}$ ,  $^{230}\text{Th}$ ,  $^{234}\text{U}$  и  $^{238}\text{U}$  на анализаторе импульсов АИ-1024. Предварительная обработка и подготовка образцов для спорово-пыльцевого анализа производились по стандартной методике [13]. При построении спорово-пыльцевой диаграммы за 100% принята сумма пыльцы древесной и травянистой растительности, исключая водные растения и споры.

В процессе исследований были тщательно проработаны основные предпосылки практического использования уран-ториевого датирования органогенных отложений [3, 6]:

1) датируемый образец должен представлять собой закрытую геохимическую систему по отношению к изотопам урана и тория;

2) не должно быть детритных урана и тория в датируемой органической фракции торфа в на-

чальный момент времени его образования; если же в датируемой фракции образца присутствуют незначительные количества этих радионуклидов, то необходима коррекция на детритные (привнесенные из минеральной фазы пробы) уран и торий.

Результаты радиохимического анализа отложений, представленные в табл. 1, мы приводим на примере детального изучения погребенного торфа из разреза “Микулино” [7, 8]. Известно, что изотопы урана и тория входят в состав как органической, так и минеральной составляющей торфа. Поэтому при выщелачивании проб азотной кислотой в ходе анализа в раствор полностью переходят U и Th органического происхождения и какая-то их часть из минеральной фазы. Как видно из табл. 1, увеличение зольности торфа (или, иначе, степени его минерализованности) в слое А приводит и к росту концентрации этих радионуклидов в выщелатах. Однако повышение (по сравнению со слоем В) величины отношения U/Th в слое А свидетельствует о дополнительном привносе урана в составе грунтовых вод в верхние горизонты отложений уже после их формирования, где этот нуклид и фиксируется органической фракцией торфа. Подобная картина наблюдается и в слое С, в котором отчетливо заметна дополнительная поставка урана и повышение величины отношения U/Th (в сравнении со слоем В) при практически постоянном для этого слоя значении зольности. С этих позиций оба слоя А и С можно рассматривать как геохимические открытые системы по отношению к урану, что противоречит предпосылкам применения уран-ториевого метода. В слое В, в отличие от верхних и нижних горизонтов торфа, концентрации U и Th, значения отношения U/Th и зольности практически постоянные по всей его мощности и наименьшие для всего разреза. Иными словами, эти внутренние горизонты вполне соответствуют условиям геохимической закрытой системы для изотопов урана. Исключение составляет слой 70–75 см, в котором величина отношения активностей  $^{234}\text{U}/^{238}\text{U}$  существенно меньше равновесного значения 1.0. Это может свидетельствовать о возможном преимущественном выведении грунтовыми водами  $^{234}\text{U}$  из образца во время его формирования, что связано с большей подвижностью этого изотопа (в сравнении с материнским  $^{238}\text{U}$ ), являющегося “атомом отдачи” (согласно “эффекта Чердынцева” [14]). С этих позиций горизонт 70–75 см нельзя рассматривать как геохимическую закрытую систему по отношению к урану. Поэтому только 6 образцов из слоя В можно считать пригодными для их датирования уран-ториевым методом.

Определение абсолютного возраста образцов из центральной части разреза дает прямые датировки в пределах 89–143 тыс. лет (табл. 1). Однако известно, что в процессе растворения проб

**Таблица 1.** Результаты радиохимического анализа образцов торфа (ppm –  $n \times 10^{-6}$  г/г, dpm – распады/мин · г)

№ обр.	Глубина, см	Зольность, %	U, ppm	Th, ppm	$^{238}\text{U}/^{232}\text{Th}$	Слой			
LU-4222	20–25	33.44	$56.4 \pm 2.4$	$3.74 \pm 0.04$	$15.08 \pm 0.65$	A			
LU-4306	30–35	20.85	$7.36 \pm 0.26$	$1.04 \pm 0.04$	$7.08 \pm 0.38$				
LU-4301	35–40	19.79	$4.86 \pm 0.29$	$1.30 \pm 0.10$	$3.74 \pm 0.37$				
LU-4225	45–50	12.71	$2.92 \pm 0.15$	$1.26 \pm 0.04$	$2.32 \pm 0.14$				
LU-4311	55–60	17.03	$4.31 \pm 0.15$	$1.24 \pm 0.04$	$3.48 \pm 0.16$				
LU-4302	60–65	10.58	$1.42 \pm 0.11$	$0.65 \pm 0.04$	$2.18 \pm 0.22$	B			
LU-4310	65–70	11.20	$1.44 \pm 0.12$	$0.69 \pm 0.04$	$2.09 \pm 0.21$				
LU-4304	70–75	10.25	$1.29 \pm 0.10$	$0.65 \pm 0.04$	$1.98 \pm 0.20$				
LU-4226	75–80	8.09	$1.08 \pm 0.11$	$0.45 \pm 0.04$	$2.40 \pm 0.32$				
LU-4308	80–85	9.50	$1.94 \pm 0.14$	$0.45 \pm 0.04$	$4.30 \pm 0.49$				
LU-4305	85–90	9.33	$1.47 \pm 0.13$	$0.37 \pm 0.04$	$3.97 \pm 0.53$				
LU-4232	90–95	10.16	$2.26 \pm 0/14$	$0.49 \pm 0.04$	$4.61 \pm 0.48$				
LU-4309	95–100	10.05	$4.17 \pm 0.14$	$0.52 \pm 0.04$	$8.02 \pm 0.67$	C			
LU-4227	100–105	10.48	$5.28 \pm 0.14$	$0.41 \pm 0.04$	$12.88 \pm 1.20$				
LU-4307	105–110	9.83	$6.67 \pm 0.27$	$0.72 \pm 0.04$	$9.26 \pm 0.65$				
LU-4303	110–115	10.43	$9.58 \pm 0.29$	$0.38 \pm 0/04$	$25.21 \pm 2.62$				
LU-4228	125–130	14.15	$14.9 \pm 0.6$	$0.65 \pm 0.04$	$22.88 \pm 1.66$				
Глубина, см	$^{238}\text{U}$ , dpm	$^{234}\text{U}$ , dpm	$^{230}\text{Th}$ , dpm	$^{232}\text{Th}$ , dpm	$^{234}\text{U}/^{238}\text{U}$	$^{230}\text{Th}/^{234}\text{U}$	$^{230}\text{Th}/^{232}\text{Th}$	Возраст, лет	Слой
20–25	$40.6 \pm 1.7$	$42.8 \pm 1.8$	$4.15 \pm 0.05$	$0.92 \pm 0.01$	$1.06 \pm 0.01$	$0.10 \pm 0.01$	$4.51 \pm 0.07$	$11100 \pm 500$	A
30–35	$5.3 \pm 0.2$	$5.7 \pm 0.2$	$1.78 \pm 0.03$	$0.25 \pm 0.01$	$1.07 \pm 0.02$	$0.31 \pm 0.01$	$6.96 \pm 0.29$	$40700 \pm 2200$	
35–40	$3.3 \pm 0.2$	$3.5 \pm 0.2$	$1.61 \pm 0.07$	$0.32 \pm 0.03$	$1.06 \pm 0.04$	$0.46 \pm 0.03$	$5.01 \pm 0.45$	$67300 \pm 6200$	
45–50	$2.0 \pm 0.1$	$2.1 \pm 0.1$	$1.16 \pm 0.02$	$0.31 \pm 0.01$	$1.02 \pm 0.02$	$0.56 \pm 0.02$	$3.72 \pm 0.13$	$89900 \pm 4600$	
55–60	$2.9 \pm 0.1$	$3.1 \pm 0.1$	$1.32 \pm 0.03$	$0.31 \pm 0.01$	$1.06 \pm 0.02$	$0.43 \pm 0.02$	$4.31 \pm 0.16$	$60000 \pm 3300$	
60–65	$1.0 \pm 0.1$	$1.1 \pm 0.1$	$0.61 \pm 0.02$	$0.16 \pm 0.01$	$1.05 \pm 0.02$	$0.57 \pm 0.02$	$3.91 \pm 0.27$	$91800 \pm 5200$	B
65–70	$1.0 \pm 0.1$	$1.2 \pm 0.1$	$0.66 \pm 0.02$	$0.17 \pm 0.01$	$1.14 \pm 0.05$	$0.56 \pm 0.02$	$3.90 \pm 0.26$	$89000 \pm 6200$	
70–75	$1.0 \pm 0.1$	$0.9 \pm 0.1$	$0.65 \pm 0.02$	$0.16 \pm 0.01$	$0.94 \pm 0.04$	$0.73 \pm 0.03$	$4.25 \pm 0.39$	$143000 \pm 16000$	
75–80	$0.8 \pm 0.1$	$0.8 \pm 0.1$	$0.45 \pm 0.01$	$0.11 \pm 0.01$	$1.01 \pm 0.05$	$0.57 \pm 0.03$	$4.05 \pm 0.38$	$90300 \pm 7400$	
80–85	$1.4 \pm 0.1$	$1.4 \pm 0.1$	$0.90 \pm 0.03$	$0.11 \pm 0.01$	$1.01 \pm 0.04$	$0.63 \pm 0.03$	$8.31 \pm 0.82$	$108000 \pm 9200$	
85–90	$1.1 \pm 0.1$	$1.2 \pm 0.1$	$0.69 \pm 0.01$	$0.09 \pm 0.01$	$1.07 \pm 0.03$	$0.61 \pm 0.02$	$7.64 \pm 0.76$	$102000 \pm 6300$	
90–95	$1.6 \pm 0.1$	$1.7 \pm 0.1$	$0.96 \pm 0.01$	$0.12 \pm 0.01$	$1.01 \pm 0.02$	$0.58 \pm 0.02$	$8.03 \pm 0.66$	$94900 \pm 4900$	
95–100	$3.0 \pm 0.1$	$3.1 \pm 0.1$	$1.43 \pm 0.03$	$0.13 \pm 0.01$	$1.01 \pm 0.02$	$0.47 \pm 0.02$	$11.22 \pm 0.89$	$67900 \pm 3500$	C
100–105	$3.8 \pm 0.1$	$4.0 \pm 0.1$	$1.89 \pm 0.03$	$0.10 \pm 0.01$	$1.04 \pm 0.03$	$0.48 \pm 0.02$	$18.68 \pm 1.68$	$70500 \pm 3800$	
105–110	$4.8 \pm 0.2$	$4.5 \pm 0.2$	$2.39 \pm 0.05$	$0.18 \pm 0.01$	$0.94 \pm 0.02$	$0.54 \pm 0.02$	$13.51 \pm 0.80$	$83100 \pm 5600$	
110–115	$6.9 \pm 0.2$	$6.9 \pm 0.2$	$3.09 \pm 0.04$	$0.09 \pm 0.01$	$0.99 \pm 0.02$	$0.45 \pm 0.01$	$32.17 \pm 3.23$	$65000 \pm 2800$	
125–130	$10.7 \pm 0.4$	$10.7 \pm 0.4$	$4.87 \pm 0.10$	$0.16 \pm 0.01$	$1.00 \pm 0.01$	$0.45 \pm 0.02$	$30.25 \pm 1.97$	$65100 \pm 3400$	

торфа в ходе анализа из глинистой составляющей (детрита) в выщелач переходят некоторые количества  $^{230}\text{Th}$ ,  $^{232}\text{Th}$ ,  $^{238}\text{U}$ ,  $^{234}\text{U}$ , что приводит к искажению значений отношений  $^{230}\text{Th}/^{234}\text{U}$  и  $^{234}\text{U}/^{238}\text{U}$  в датируемой органической фракции проб. Поэтому полученные прямые датировки нельзя рассматривать как истинные значения возраста этих горизонтов. Факт привноса детритных урана и то-

рия устанавливается по присутствию  $^{232}\text{Th}$  в органической фазе образца (см. табл. 1), поскольку этот долгоживущий изотоп тория (родоначальник ториевого радиоактивного ряда) может находиться в отложениях торфа только в составе минерального детрита. Таким образом, чтобы получить истинный возраст отложений погребенного торфа, необходимо знать современные значения

$^{230}\text{Th}/^{234}\text{U}$  и  $^{234}\text{U}/^{238}\text{U}$  в датируемой органической фракции. В этих целях используется математическая коррекция прямых уран-ториевых датировок с применением метода изохрон [3, 6]. Суть этого метода заключается в том, что при растворении одновозрастных (в пределах ошибки) проб торфа изотопы урана и тория (из минеральной фракции) поступают в выщелат в одинаковых соотношениях (при одинаковых условиях проведения эксперимента). Тогда полученные значения изотопных отношений сформируют прямую линию на графиках  $^{234}\text{U}/^{232}\text{Th}$  –  $^{238}\text{U}/^{232}\text{Th}$  и  $^{230}\text{Th}/^{232}\text{Th}$  –  $^{234}\text{U}/^{232}\text{Th}$  (рис. 1). Углы наклона построенных таким образом изохрон соответствуют скорректированным на дегритный привнос значениям отношений  $^{234}\text{U}/^{238}\text{U}$  и  $^{230}\text{Th}/^{234}\text{U}$ , которые и используются в дальнейшем при расчете истинного абсолютного возраста исследованных погребенных торфов по формуле:

$$\frac{^{230}\text{Th}}{^{234}\text{U}} = \frac{^{238}\text{U}}{^{234}\text{U}}(1 - e^{-\lambda_0 t}) + \\ + \left[ \left(1 - \frac{\lambda_0}{\lambda_0 - \lambda_4}\right) \left(1 - \frac{^{238}\text{U}}{^{234}\text{U}}\right) (1 - e^{(\lambda_4 - \lambda_0)t}) \right], \quad (1)$$

где  $\lambda_0$  и  $\lambda_4$  – постоянные радиоактивного распада  $^{230}\text{Th}$  и  $^{234}\text{U}$ ;  $^{230}\text{Th}/^{234}\text{U}$  и  $^{238}\text{U}/^{234}\text{U}$  – отношения активностей (на сегодняшний день), рассчитанные по методу изохрон;  $t$  – возраст образца [3, 6].

Рассчитанный таким образом (с использованием 6 центральных образцов) скорректированный возраст внутренней части разреза “Микулино” (слой В) дает значение  $113\,000 \pm 11\,000$  лет (рис. 1). Эта датировка вполне соответствует (в пределах ошибки метода) временем границам ~115–130 тыс. лет [10] изотопно-кислородной стадии океанических осадков 5е. Она же согласуется с полученными нами данными спорово-пыльцевого анализа, соответствующими принятой в настоящее время схеме деления микулинского межледникового [15], с одной стороны, и позволившими отнести исследованные органогенные осадки ко второй его половине [7, 8], с другой.

Аналогичные геохронологические исследования микулинских органогенных отложений из парастратотипического разреза “Нижняя Боярщина” подтвердили возможность получения достоверных уран-ториевых датировок древних межледниковых осадков. Скорректированное значение абсолютного возраста внутренних слоев этого разреза также укладывается в рамки изотопно-кислородной стадии 5е и составляет  $119\,500 \pm 11\,000$  лет [8].

Применение уран-ториевого метода (в сочетании с палинологическим анализом) позволило получить скорректированное значение возраста внутренней части спорного в хроностратиграфии

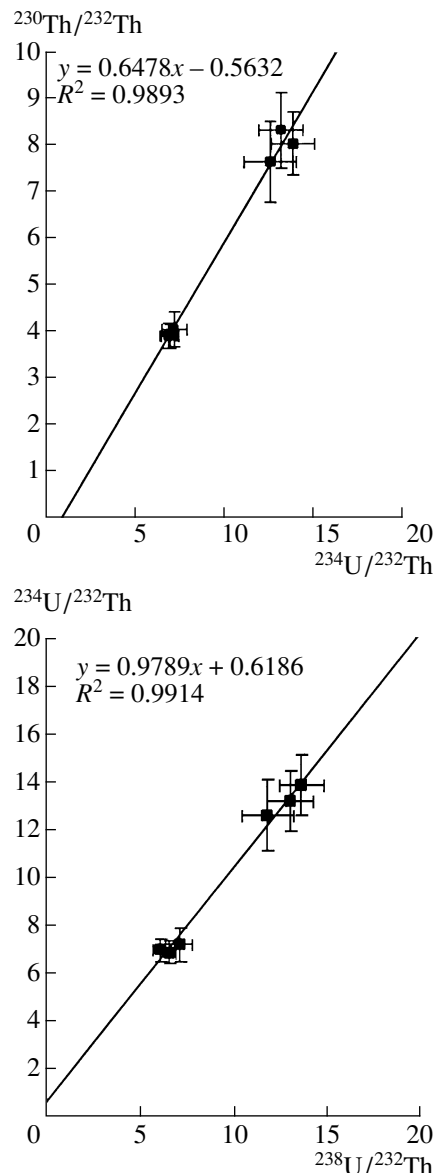


Рис. 1. Графики изохрон для внутренней части разреза “Микулино”; рассчитанный абсолютный возраст  $113\,000 \pm 11\,000$  лет.

ческом отношении разреза “Филевский парк” –  $89\,000 \pm 11\,000$  лет и установить принадлежность погребенного торфа из этих отложений к микулинскому межледниковью [7].

Полученные нами достоверные уран-ториевые датировки органогенных отложений микулинского времени открывают широкие перспективы использования этого метода ядерной геохронологии (в сочетании с термолюминесцентным, оптико-люминесцентным, палеоботаническими и палеофаунистическими анализами) для внесения ясности в проблему хроностратиграфии верхнего и среднего плейстоцена Русской равнины (вплоть до возрастных границ метода – 300–350 тыс. лет). Тем самым появляются возмож-

ности: а) идентификации спорных в хроностратиграфическом отношении органогенных отложений и отнесения их к тому или иному межледнику/межстадиалу; б) установления хронологии формирования осадков в межледниково время с использованием более детального радиохимического анализа мощных органогенных толщ (более 1 м). Это позволит разделить внутреннюю часть разреза на ряд одновозрастных (в пределах ошибки метода) слоев, отвечающих условиям закрытой геохимической системы, и получить тем самым несколько последовательных скорректированных значений абсолютного возраста. Таким образом, могут быть продатированы слои торфа, относящиеся ко времени, близкому к началу и завершению того или иного межледникова/межстадиала, а также установлены значения возраста соответствующих оптимумов. И наконец, в) внести существенный вклад в обоснование хроностратиграфии верхнего и среднего плейстоцена на территории России.

Работа выполнена при финансовой поддержке РФФИ (проект 01-05-64870) и INTAS (проект 01-0675).

#### СПИСОК ЛИТЕРАТУРЫ

1. Хотинский Н.А. В сб.: Новые данные по геохронологии четвертичного периода. М.: Наука, 1987. С. 39–45.
2. Arslanov Kh.A. // Radiocarbon. 1992. V. 35. № 3. P. 421–427.
3. Uranium-Series Disequilibrium: Applications to Earth, Marine and Environmental Sciences / M. Ivanovich, R.S. Harmon Eds. Oxford: Clarendon Press, 1992. 910 p.
4. Vogel J., Kronfeld J. // South. Afr. Sci. 1980. V. 76. P. 557–558.
5. Van der Wijk A., El-Daoushy F., Arends A.R., Mook W.G. // Chem. Geol. (Isotope Geosci. Sect.). 1986. V. 59. P. 283–292.
6. Heijnis H. Uranium/thorium dating of Late Pleistocene peat deposits in N.W. Europe. Groningen, 1995. 149 p.
7. Kuznetsov V.Yu., Arslanov Kh.A., Alekseev M.N. et al. // Geochronometria. 2002. V. 21. P. 41–48.
8. Кузнецов В.Ю., Арсланов Х.А., Козлов В.Б. и др. В сб.: Материалы III Всерос. совещ. по изучению четвертич. периода, 2–8 сентября 2002 г. Смоленск. Т. 1. С. 135–136.
9. Санько А.Ф. Неоплейстоцен северо-восточной Белоруссии и смежных районов РСФСР. Минск, 1987. 178 с.
10. Martinson D.G., Pisias N.G., Hays J.D. et al. // Quatern. Res. 1987. V. 27. № 1. P. 1–30.
11. Molodkov A.N., Bolikhovskaya N.S. // Sedimen. Geol. 2002. V. 150. P. 185–201.
12. Болиховская Н.С., Молодьков А.Н. В сб.: Актуальные проблемы палинологии на рубеже третьего тысячелетия. М., 1999. С. 25–53.
13. Arslanov Kh.A., Saveljeva L.A., Gey V.A. et al. // Radio-carbon. 1999. V. 41. № 1. P. 25–45.
14. Чердынцев В.В. Уран-234. М.: Атомиздат, 1968. 308 с.
15. Гричук В.П. В кн.: Рельеф и стратиграфия четвертичных отложений Северо-Запада Русской равнины. М.: Изд-во АН СССР, 1961. С. 25–71.